



ENEM RESOLVIDO

—
CIÊNCIAS DA NATUREZA
E SUAS TECNOLOGIAS

2016

COLEÇÃO

ENEMRESOLVIDO

01. (ENEM 2016) As proteínas de uma célula eucariótica possuem peptídeos sinais, que são sequências de aminoácidos responsáveis pelo seu endereçamento para as diferentes organelas, de acordo com suas funções. Um pesquisador desenvolveu uma nanopartícula capaz de carregar proteínas para dentro de tipos celulares específicos. Agora ele quer saber se uma nanopartícula carregada com uma proteína bloqueadora do ciclo de Krebs in vitro é capaz de exercer sua atividade em uma célula cancerosa, podendo cortar o aporte energético e destruir essas células.

Ao escolher essa proteína bloqueadora para carregar as nanopartículas, o pesquisador deve levar em conta um peptídeo sinal de endereçamento para qual organela?

- Núcleo.
- Mitocôndria.
- Peroxisomo.
- Complexo golgiense.
- Retículo endoplasmático.

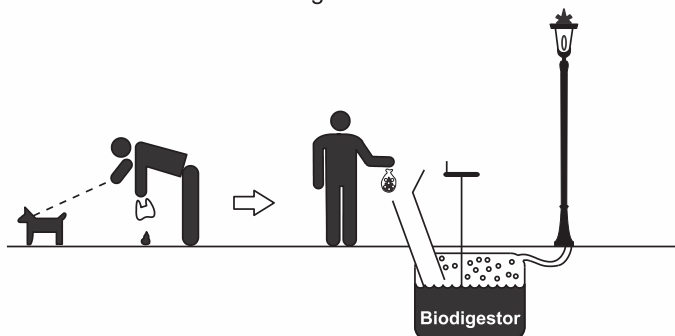
02. (ENEM 2016) A coleta das fezes dos animais domésticos em sacolas plásticas e o seu descarte em lixeiras convencionais podem criar condições de degradação que geram produtos prejudiciais ao meio ambiente (Figura 1).

Figura 1



A Figura 2 ilustra o Projeto Park Spark, desenvolvido em Cambridge, MA (EUA), em que as fezes dos animais domésticos são recolhidas em sacolas biodegradáveis e jogadas em um biodigestor instalado em parques públicos; e os produtos são utilizados em equipamentos no próprio parque.

Figura 2



Disponível em: <http://parksparkproject.com>. Acesso em: 30 ago. 2013 (adaptado).

Uma inovação desse projeto é possibilitar o(a)

- queima de gás metano.
- armazenamento de gás carbônico.
- decomposição aeróbica das fezes.
- uso mais eficiente de combustíveis fósseis.
- fixação de carbono em moléculas orgânicas.

03. (ENEM 2016) Recentemente um estudo feito em campos de trigo mostrou que níveis elevados de dióxido de carbono na atmosfera prejudicam a absorção de nitrato pelas plantas. Consequentemente, a qualidade nutricional desses alimentos pode diminuir à medida que os níveis de dióxido de carbono na atmosfera atingirem as estimativas para as próximas décadas.

BLOOM, A.J. et al. Nitrate assimilation is inhibited by elevated CO_2 in field-grown wheat. *Nature Climate Change*, n. 4, abr. 2014 (adaptado).

Nesse contexto, a qualidade nutricional do grão de trigo será modificada primariamente pela redução de

- amido.
- frutose.
- lipídeos.
- celulose.
- proteínas.

04. (ENEM 2016) A vegetação apresenta adaptações ao ambiente, como plantas arbóreas e arbustivas com raízes que se expandem horizontalmente, permitindo forte ancoragem no substrato lamacento; raízes que se expandem verticalmente, por causa da baixa oxigenação do substrato; folhas que têm glândulas para eliminar o excesso de sais; folhas que podem apresentar cutícula espessa para reduzir a perda de água por evaporação.

As características descritas referem-se a plantas adaptadas ao bioma:

- Cerrado.
- Pampas.
- Pantanal.
- Manguezal.
- Mata de Cocais.

05. (ENEM 2016) Os ecossistemas degradados por intensa atividade agrícola apresentam, geralmente, diminuição de sua diversidade e perda de sua estabilidade. Nesse contexto, o uso integrado de árvores aos sistemas agrícolas (sistemas agroflorestais) pode cumprir um papel inovador ao buscar a aceleração do processo sucessional e, ao mesmo tempo, uma produção escalonada e diversificada.

Disponível em: saf.cnpqg.embrapa.br. Acesso em: 21 jan. 2012 (adaptado).

Essa é uma estratégia de conciliação entre recuperação ambiental e produção agrícola, pois

- substitui gradativamente as espécies cultiváveis por espécies arbóreas.
- intensifica a fertilização do solo com o uso de técnicas apropriadas e biocidas.
- promove maior diversidade de vida no solo com o aumento da matéria orgânica.
- favorece a dispersão das sementes cultivadas pela fauna residente nas áreas florestais.
- cria condições para o estabelecimento de espécies pioneiras com a diminuição da insolação sobre o solo.

06. (ENEM 2016) Um pesquisador investigou o papel da predação por peixes na densidade e tamanho das presas, como possível controle de populações de espécies exóticas em costões rochosos. No experimento colocou uma tela sobre uma área da comunidade, impedindo o acesso dos peixes ao alimento, e comparou o resultado com uma área adjacente na qual os peixes tinham acesso livre.

O quadro apresenta os resultados encontrados após 15 dias de experimento.

Espécie exótica	Área com tela		Área sem tela	
	Densidade (<i>indivíduo/m²</i>)	Tamanho médio dos indivíduos (cm)	Densidade (<i>indivíduo/m²</i>)	Tamanho médio dos indivíduos (cm)
Alga	100	15	110	18
Craca	300	2	150	1,5
Mexilhão	380	3	200	6
Ascídia	55	4	58	3,8

O pesquisador concluiu corretamente que os peixes controlam a densidade dos(as)

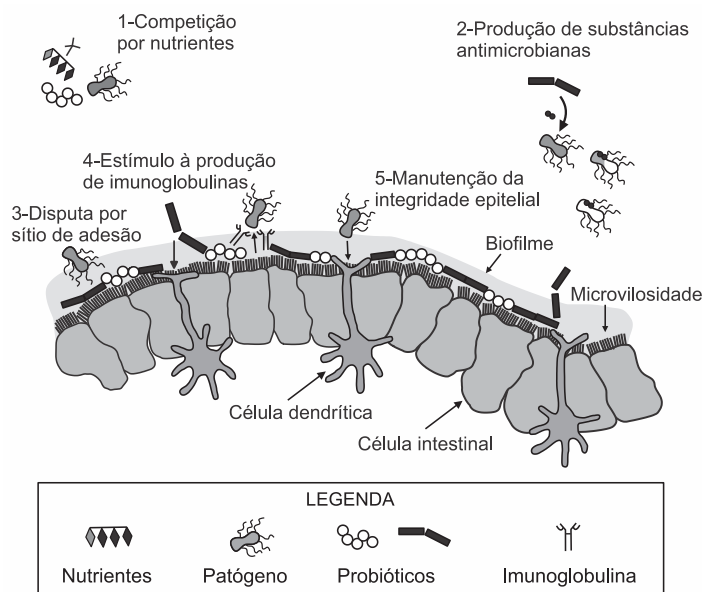
- algas, estimulando seu crescimento.
- cracas, predando especialmente animais pequenos.
- mexilhões, predando especialmente animais pequenos.
- quatro espécies testadas, predando indivíduos pequenos.
- ascídias, apesar de não representarem os menores organismos.

07. (ENEM 2016) Apesar da grande diversidade biológica, a hipótese de que a vida na Terra tenha tido uma única origem comum é aceita pela comunidade científica. Uma evidência que apoia essa hipótese é a observação de processos biológicos comuns a todos os seres vivos atualmente existentes.

Um exemplo de tal processo é o(a)

- desenvolvimento embrionário.
- reprodução sexuada.
- respiração aeróbica.
- excreção urinária.
- síntese proteica.

08. (ENEM 2016) Vários métodos são empregados para prevenção de infecções por microrganismos. Dois desses métodos utilizam microrganismos vivos e são eles: as vacinas atenuadas, constituídas por patógenos avirulentos, e os probióticos que contêm bactérias benéficas. Na figura são apresentados cinco diferentes mecanismos de exclusão de patógenos pela ação dos probióticos no intestino de um animal.



McALLISTER.T. A. et al. Review: The use of direct fed microbials to mitigate pathogens and enhance production in cattle. *Can. J. Anim. Sci.*, jan. 2011 (adaptado).

Qual mecanismo de ação desses probióticos promove um efeito similar ao da vacina?

- a) 5
- b) 4
- c) 3
- d) 2
- e) 1

09. (ENEM 2016) O Brasil possui um grande número de espécies distintas entre animais, vegetais e microrganismos envolvidos em uma imensa complexidade e distribuídos em uma grande variedade de ecossistemas.

SANDES. A. R. R.; BLASI. G. Biodiversidade e diversidade química e genética. Disponível em: <http://novatecnologias.com.br>. Acesso em: 22 set. 2015 (adaptado).

O incremento da variabilidade ocorre em razão da permuta genética, a qual propicia a troca de segmentos entre cromátides não irmãs na meiose.

Essa troca de segmentos é determinante na

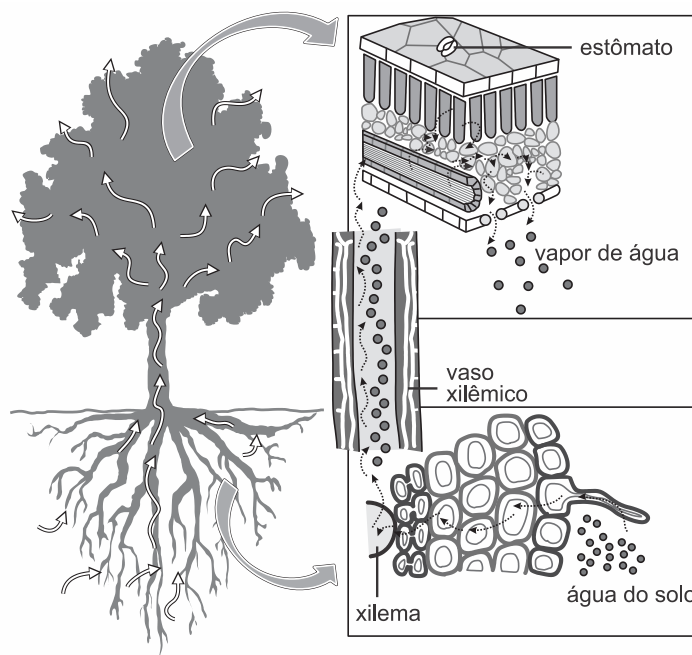
- a) produção de indivíduos mais férteis.
- b) transmissão de novas características adquiridas.
- c) recombinação genética na formação dos gametas.
- d) ocorrência de mutações somáticas nos descendentes.
- e) variação do número de cromossomos característico da espécie.

10. (ENEM 2016) A formação de coágulos sanguíneos em veias e artérias é um dos fatores responsáveis pela ocorrência de doenças cardiovasculares, como varizes, infarto e acidentes vasculares cerebrais. A prevenção e o tratamento dessas doenças podem ser feitos com drogas anticoagulantes. A indústria farmacêutica estimula a pesquisa de toxinas animais com essa propriedade.

Considerando as adaptações relacionadas aos hábitos alimentares, os animais adequados ao propósito dessas pesquisas são os(as)

- a) moluscos fitófagos.
- b) moscas saprófagas.
- c) pássaros carnívoros.
- d) morcegos frugívoros.
- e) mosquitos hematófagos.

11. (ENEM 2016) A figura abaixo ilustra o movimento da seiva xilêmica em uma planta.



CORREIA, S. Teoria da tensão-coesão-adesão. *Revista de Ciência Elementar*, n. 1, 2014 (adaptado).

Mesmo que essa planta viesse a sofrer ação contínua do vento e sua copa crescesse voltada para baixo, essa seiva continuaria naturalmente seu percurso.

O que garante o transporte dessa seiva é a

- a) gutação.
- b) gravidade.
- c) respiração.
- d) fotossíntese.
- e) transpiração.

12. (ENEM 2016) Ao percorrer o trajeto de uma cadeia alimentar, o carbono, elemento essencial e majoritário da matéria orgânica que compõe os indivíduos, ora se encontra em sua forma inorgânica, ora se encontra em sua forma orgânica. Em uma cadeia alimentar composta por fitoplâncton, zooplâncton, moluscos, crustáceos e peixes ocorre a transição desse elemento da forma inorgânica para a orgânica.

Em qual grupo de organismos ocorre essa transição?

- a) Fitoplâncton.
- b) Zooplâncton.
- c) Moluscos.
- d) Crustáceos.
- e) Peixes.

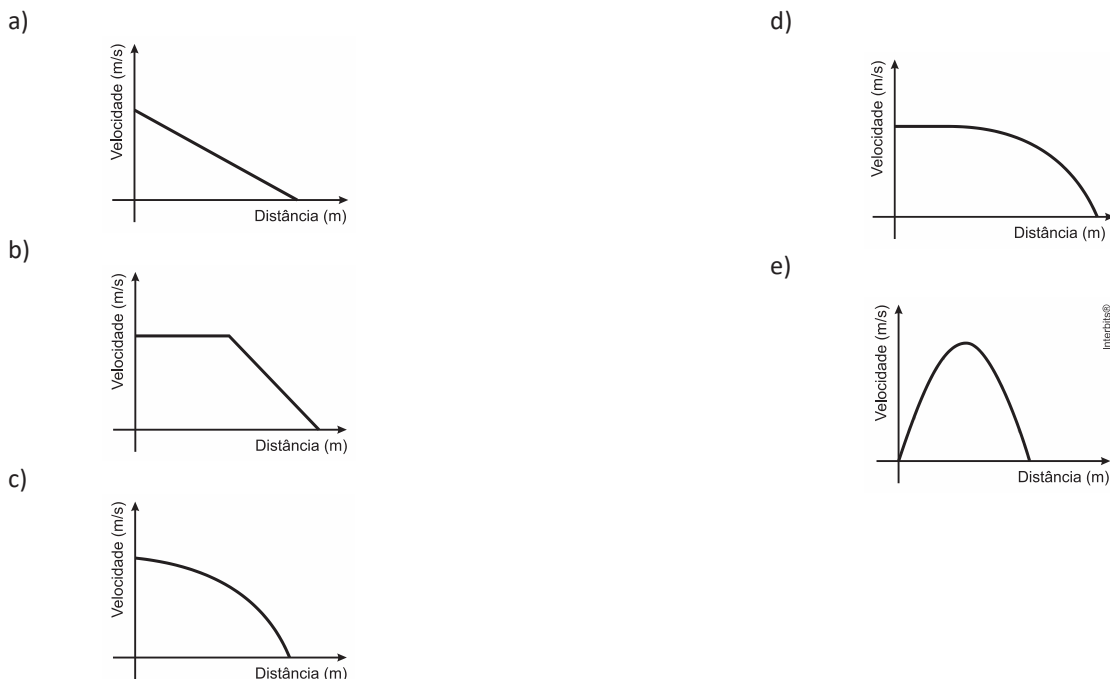
13. (ENEM 2016) Portadores de diabetes *insipidus* reclamam da confusão feita pelos profissionais da saúde quanto aos dois tipos de diabetes: *mellitus* e *insipidus*. Enquanto o primeiro tipo está associado aos níveis ou à ação da insulina, o segundo não está ligado à deficiência desse hormônio. O diabetes *insipidus* é caracterizado por um distúrbio na produção ou no funcionamento do hormônio antidiurético (na sigla em inglês, ADH), secretado pela neuro-hipófise para controlar a reabsorção de água pelos túbulos renais.

Tendo em vista o papel funcional do ADH, qual é um sintoma clássico de um paciente acometido por diabetes *insipidus*?

- a) Alta taxa de glicose no sangue.
- b) Aumento da pressão arterial.
- c) Ganho de massa corporal.
- d) Anemia crônica.
- e) Desidratação.

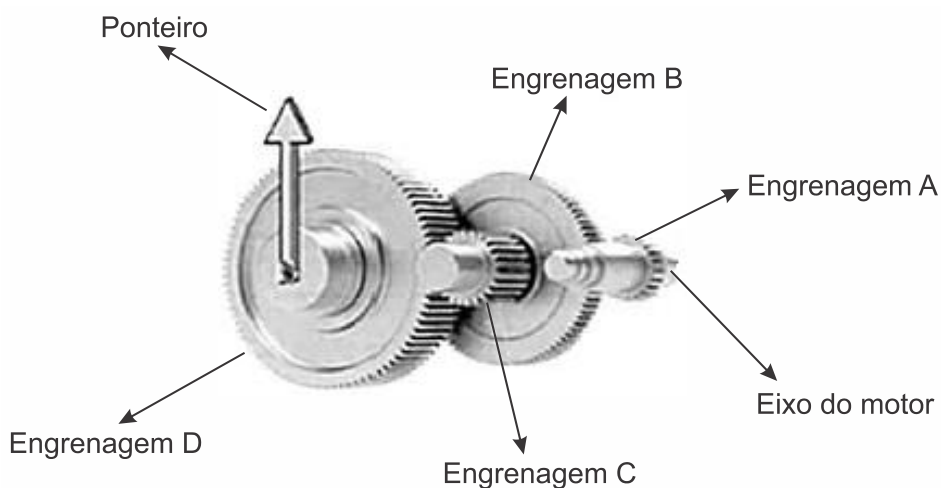
14. (ENEM 2016) Dois veículos que trafegam com velocidade constante em uma estrada, na mesma direção e sentido, devem manter entre si uma distância mínima. Isso porque o movimento de um veículo, até que ele pare totalmente, ocorre em duas etapas, a partir do momento em que o motorista detecta um problema que exige uma freada brusca. A primeira etapa é associada à distância que o veículo percorre entre o intervalo de tempo da detecção do problema e o acionamento dos freios. Já a segunda se relaciona com a distância que o automóvel percorre enquanto os freios agem com desaceleração constante.

Considerando a situação descrita, qual esboço gráfico representa a velocidade do automóvel em relação à distância percorrida até parar totalmente?



15. (ENEM 2016) A invenção e o acoplamento entre engrenagens revolucionaram a ciência na época e propiciaram a invenção de várias tecnologias, como os relógios. Ao construir um pequeno cronômetro, um relojoeiro usa o sistema de engrenagens mostrado. De acordo com a figura, um motor é ligado ao eixo e movimenta as engrenagens fazendo o ponteiro girar. A frequência do motor é de 18 rpm, e o número de dentes das engrenagens está apresentado no quadro.

Engrenagem	Dentes
A	24
B	72
C	36
D	108

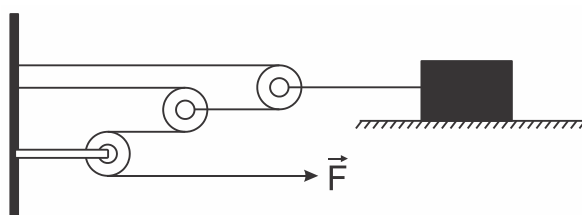


A frequência de giro do ponteiro, em *rpm*, é

- a) 1.
- b) 2.
- c) 4.
- d) 81.
- e) 162.

16. (ENEM 2016) Uma invenção que significou um grande avanço tecnológico na Antiguidade, a polia composta ou a associação de polias, é atribuída a Arquimedes (287 a.C. a 212 a.C.). O aparato consiste em associar uma série de polias móveis a uma polia fixa. A figura exemplifica um arranjo possível para esse aparato. É relatado que Arquimedes teria demonstrado para o rei Hierão um outro arranjo desse aparato, movendo sozinho, sobre a areia da praia, um navio repleto de passageiros e cargas, algo que seria impossível sem a participação de muitos homens. Suponha que a massa do navio era de 3.000 kg , que o coeficiente de atrito estático entre o navio e a areia era de $0,8$ e que Arquimedes tenha puxado o navio com uma força \vec{F} , paralela à direção do movimento e de módulo igual a 400 N .

Considere os fios e as polias ideais, a aceleração da gravidade igual a 10 m/s^2 e que a superfície da praia é perfeitamente horizontal.



Disponível em: www.histedbr.fae.unicamp.br. Acesso em: 28 fev. 2013 (adaptado).

O número mínimo de polias móveis usadas, nessa situação, por Arquimedes foi

- a) 3.
- b) 6.
- c) 7.
- d) 8.
- e) 10.

17. (ENEM 2016) A usina de Itaipu é uma das maiores hidrelétricas do mundo em geração de energia. Com 20 unidades geradoras e 14.000 MW de potência total instalada, apresenta uma queda de $118,4\text{ m}$ e vazão nominal de $690\text{ m}^3/\text{s}$ por unidade geradora. O cálculo da potência teórica leva em conta a altura da massa de água represada pela barragem, a gravidade local (10 m/s^2) e a densidade da água (1.000 kg/m^3). A diferença entre a potência teórica e a instalada é a potência não aproveitada.

Disponível em: www.itaipu.gov.br. Acesso em: 11 mai. 2013 (adaptado).

Qual é a potência, em MW , não aproveitada em cada unidade geradora de Itaipu?

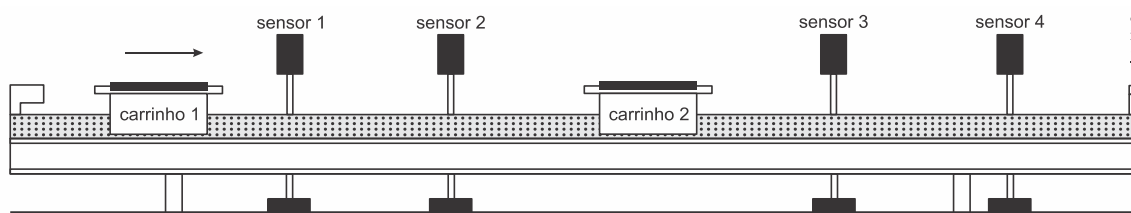
- a) 0
- b) 1,18
- c) 116,96
- d) 816,96
- e) 13.183,04

18. (ENEM 2016) Durante a primeira fase do projeto de uma usina de geração de energia elétrica, os engenheiros da equipe de avaliação de impactos ambientais procuram saber se esse projeto está de acordo com as normas ambientais. A nova planta estará localizada a beira de um rio, cuja temperatura média da água é de $25\text{ }^\circ\text{C}$, e usará a sua água somente para refrigeração. O projeto pretende que a usina opere com $1,0\text{ MW}$ de potência elétrica e, em razão de restrições técnicas, o dobro dessa potência será dissipada por seu sistema de arrefecimento, na forma de calor. Para atender a resolução número 430, de 13 de maio de 2011, do Conselho Nacional do Meio Ambiente, com uma ampla margem de segurança, os engenheiros determinaram que a água só poderá ser devolvida ao rio com um aumento de temperatura de, no máximo, $3\text{ }^\circ\text{C}$ em relação à temperatura da água do rio captada pelo sistema de arrefecimento. Considere o calor específico da água igual a $4\text{ kJ}/(\text{kg } ^\circ\text{C})$.

Para atender essa determinação, o valor mínimo do fluxo de água, em kg/s , para a refrigeração da usina deve ser mais próximo de

- a) 42.
- b) 84.
- c) 167.
- d) 250.
- e) 500.

19. (ENEM 2016) O trilho de ar é um dispositivo utilizado em laboratórios de física para analisar movimentos em que corpos de prova (carrinhos) podem se mover com atrito desprezível. A figura ilustra um trilho horizontal com dois carrinhos (1 e 2) em que se realiza um experimento para obter a massa do carrinho 2. No instante em que o carrinho 1, de massa $150,0g$, passa a se mover com velocidade escalar constante, o carrinho 2 está em repouso. No momento em que o carrinho 1 se choca com o carrinho 2, ambos passam a se movimentar juntos com velocidade escalar constante. Os sensores eletrônicos distribuídos ao longo do trilho determinam as posições e registram os instantes associados à passagem de cada carrinho, gerando os dados do quadro.



Carrinho 1		Carrinho 2	
Posição (cm)	Instante (s)	Posição (cm)	Instante (s)
15,0	0,0	45,0	0,0
30,0	1,0	45,0	1,0
75,0	8,0	75,0	8,0
90,0	11,0	90,0	11,0

Com base nos dados experimentais, o valor da massa do carrinho 2 é igual a:

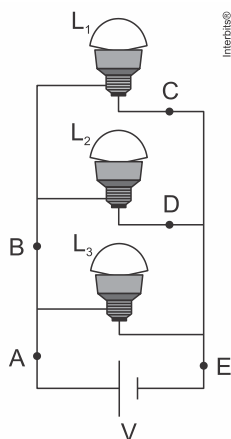
- a) $50,0g$.
- b) $250,0g$.
- c) $300,0g$.
- d) $450,0g$.
- e) $600,0g$.

20. (ENEM 2016) Num experimento, um professor deixa duas bandejas de mesma massa, uma de plástico e outra de alumínio, sobre a mesa do laboratório. Após algumas horas, ele pede aos alunos que avaliem a temperatura das duas bandejas, usando para isso o tato. Seus alunos afirmam, categoricamente, que a bandeja de alumínio encontra-se numa temperatura mais baixa. Intrigado, ele propõe uma segunda atividade, em que coloca um cubo de gelo sobre cada uma das bandejas, que estão em equilíbrio térmico com o ambiente, e os questiona em qual delas a taxa de derretimento do gelo será maior.

O aluno que responder corretamente ao questionamento do professor dirá que o derretimento ocorrerá

- a) mais rapidamente na bandeja de alumínio, pois ela tem uma maior condutividade térmica que a de plástico.
- b) mais rapidamente na bandeja de plástico, pois ela tem inicialmente uma temperatura mais alta que a de alumínio.
- c) mais rapidamente na bandeja de plástico, pois ela tem uma maior capacidade térmica que a de alumínio.
- d) mais rapidamente na bandeja de alumínio, pois ela tem um calor específico menor que a de plástico.
- e) com a mesma rapidez nas duas bandejas, pois apresentarão a mesma variação de temperatura.

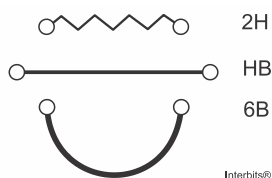
21. (ENEM 2016) Três lâmpadas idênticas foram ligadas no circuito esquematizado. A bateria apresenta resistência interna desprezível, e os fios possuem resistência nula. Um técnico fez uma análise do circuito para prever a corrente elétrica nos pontos: A, B, C, D e E ; e rotulou essas correntes de I_A, I_B, I_C, I_D e I_E , respectivamente.



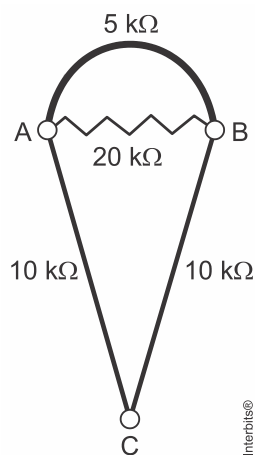
O técnico concluiu que as correntes que apresentam o mesmo valor são

- a) $I_A = I_E$ e $I_C = I_D$.
- b) $I_A = I_B = I_E$ e $I_C = I_D$.
- c) $I_A = I_B$, apenas.
- d) $I_A = I_B = I_E$, apenas.
- e) $I_C = I_B$, apenas.

22. (ENEM 2016) Por apresentar significativa resistividade elétrica, o grafite pode ser utilizado para simular resistores elétricos em circuitos desenhados no papel, com o uso de lápis e lapiseiras. Dependendo da espessura e do comprimento das linhas desenhadas, é possível determinar a resistência elétrica de cada traçado produzido. No esquema foram utilizados três tipos de lápis diferentes (2H, HB e 6B) para efetuar três traçados distintos.



Munida dessas informações, um estudante pegou uma folha de papel e fez o desenho de um sorvete de casquinha utilizando-se desses traçados. Os valores encontrados nesse experimento, para as resistências elétricas (R), medidas com o auxílio de um ohmímetro ligado nas extremidades das resistências, são mostrados na figura. Verificou-se que os resistores obedeciam a Lei de Ohm.



Na sequência, conectou o ohmímetro nos terminais A e B do desenho e, em seguida, conectou-o nos terminais B e C , anotando as leituras R_{AB} e R_{BC} , respectivamente. Ao estabelecer a razão $\frac{R_{AB}}{R_{BC}}$ qual resultado o estudante obteve?

- a) 1
 b) $\frac{4}{7}$
 c) $\frac{10}{27}$
 d) $\frac{14}{81}$
 e) $\frac{4}{81}$

23. (ENEM 2016) A magnetohipertermia é um procedimento terapêutico que se baseia na elevação da temperatura das células de uma região específica do corpo que estejam afetadas por um tumor. Nesse tipo de tratamento, nanopartículas magnéticas são fagocitadas pelas células tumorais, e um campo magnético alternado externo é utilizado para promover a agitação das nanopartículas e consequente aquecimento da célula.

A elevação de temperatura descrita ocorre porque

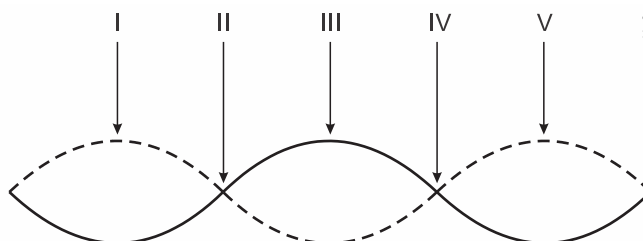
- a) o campo magnético gerado pela oscilação das nanopartículas é absorvido pelo tumor.
 b) o campo magnético alternado faz as nanopartículas girarem, transferindo calor por atrito.
 c) as nanopartículas interagem magneticamente com as células do corpo, transferindo calor.
 d) o campo magnético alternado fornece calor para as nanopartículas que o transfere às células do corpo.
 e) as nanopartículas são aceleradas em um único sentido em razão da interação com o campo magnético, fazendo-as colidir com as células e transferir calor.

24. (ENEM 2016) O morcego emite pulsos de curta duração de ondas ultrassônicas, os quais voltam na forma de ecos após atingirem objetos no ambiente, trazendo informações a respeito das suas dimensões, suas localizações e dos seus possíveis movimentos. Isso se dá em razão da sensibilidade do morcego em detectar o tempo gasto para os ecos voltarem, bem como das pequenas variações nas frequências e nas intensidades dos pulsos ultrassônicos. Essas características lhe permitem caçar pequenas presas mesmo quando estão em movimento em relação a si. Considere uma situação unidimensional em que uma mariposa se afasta, em movimento retilíneo e uniforme, de um morcego em repouso.

A distância e velocidade da mariposa, na situação descrita, seriam detectadas pelo sistema de um morcego por quais alterações nas características dos pulsos ultrassônicos?

- a) Intensidade diminuída, o tempo de retorno aumentado e a frequência percebida diminuída.
 b) Intensidade aumentada, o tempo de retorno diminuído e a frequência percebida diminuída.
 c) Intensidade diminuída, o tempo de retorno diminuído e a frequência percebida aumentada.
 d) Intensidade diminuída, o tempo de retorno aumentado e a frequência percebida aumentada.
 e) Intensidade aumentada, o tempo de retorno aumentado e a frequência percebida aumentada.

25. (ENEM 2016) Um experimento para comprovar a natureza ondulatória da radiação de micro-ondas foi realizado da seguinte forma: anotou-se a frequência de operação de um forno de micro-ondas e, em seguida, retirou-se sua plataforma giratória. No seu lugar, colocou-se uma travessa refratária com uma camada grossa de manteiga. Depois disso, o forno foi ligado por alguns segundos. Ao se retirar a travessa refratária do forno, observou-se que havia três pontos de manteiga derretida alinhados sobre toda a travessa. Parte da onda estacionária gerada no interior do forno é ilustrada na figura.

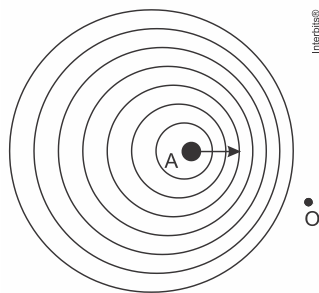


De acordo com a figura, que posições correspondem a dois pontos consecutivos da manteiga derretida?

- a) I e III
 b) I e V
 c) II e III
 d) II e IV
 e) II e V

26. (ENEM 2016) Uma ambulância A em movimento retilíneo e uniforme aproxima-se de um observador O , em repouso. A sirene emite um som de frequência constante f_A . O desenho ilustra as frentes de onda do som emitido pela ambulância.

O observador possui um detector que consegue registrar, no esboço de um gráfico, a frequência da onda sonora detectada em função do tempo $f_o(t)$, antes e depois da passagem da ambulância por ele.



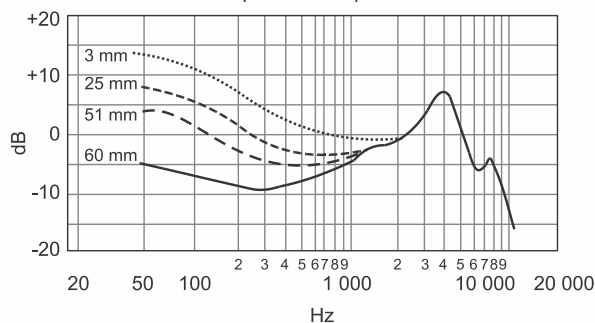
Qual esboço gráfico representa a frequência $f_o(t)$ detectada pelo observador?

- a)
- b)
- c)
- d)
- e)

27. (ENEM 2016) A Figura 1 apresenta o gráfico da intensidade, em decibels (dB), da onda sonora emitida por um alto-falante, que está em repouso, e medida por um microfone em função da frequência da onda para diferentes distâncias: 3 mm , 25 mm , 51 mm e 60 mm . A Figura 2 apresenta um diagrama com a indicação das diversas faixas do espectro de frequência sonora para o modelo de alto-falante utilizado neste experimento.

Figura 1

Resposta de frequência



Disponível em: www.balera.com.br. Acesso em: 8 fev. 2015.

Figura 2

Faixas do espectro de frequência sonora

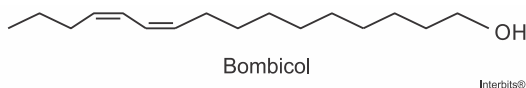
Subgrave	Grave	Média baixa	Média	Média alta	Aguda
20 Hz	63 Hz	250 Hz	640 Hz	2,5 kHz	5 kHz
					20 kHz

Disponível em: www.somsc.com.br. Acesso em: 2 abr. 2015.

Relacionando as informações presentes nas figuras 1 e 2, como a intensidade sonora percebida é afetada pelo aumento da distância do microfone ao alto-falante?

- Aumenta na faixa das frequências médias.
- Diminui na faixa das frequências agudas.
- Diminui na faixa das frequências graves.
- Aumenta na faixa das frequências médias altas.
- Aumenta na faixa das frequências médias baixas.

28. (ENEM 2016) Os feromônios são substâncias utilizadas na comunicação entre indivíduos de uma espécie. O primeiro feromônio isolado de um inseto foi o bombicol, substância produzida pela mariposa do bicho-da-seda.



O uso de feromônios em ações de controle de insetos-praga está de acordo com o modelo preconizado para a agricultura do futuro. São agentes altamente específicos e seus compostos químicos podem ser empregados em determinados cultivos, conforme ilustrado no quadro.

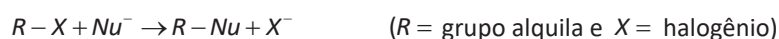
Substância	Inseto	Cultivo
	<i>Sitophilus spp</i>	Milho
	<i>Migdolus fryanus</i>	Cana-de-açúcar
	<i>Anthonomus rubi</i>	Morango
	<i>Grapholita molesta</i>	Frutas
	<i>Scrobipalpuloides absoluta</i>	Tomate

FERREIRA, J. T. B.; ZARBIN, P. H. G. Amor ao primeiro odor: a comunicação química entre os insetos. *Química Nova na Escola*. n.7, maio 1998 (adaptado).

Considerando essas estruturas químicas, o tipo de estereoisomeria apresentada pelo bombicol é também apresentada pelo feromônio utilizado no controle do inseto

- Sitophilus spp*.
- Migdolus fryanus*.
- Anthonomus rubi*.
- Grapholita molesta*.
- Scrobipalpuloides absoluta*.

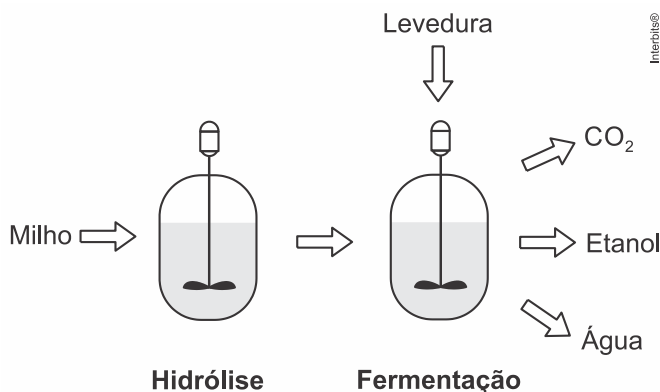
29. (ENEM 2016) Nucleófilos (Nu^-) são bases de Lewis que reagem com haletos de alquila, por meio de uma reação chamada substituição nucleofílica (S_N), como mostrado no esquema:



A reação de S_N entre metóxido de sódio ($\text{Nu}^- = \text{CH}_3\text{O}^-$) e brometo de metila fornece um composto orgânico pertencente à função

- a) éter.
- b) éster.
- c) álcool.
- d) haleto.
- e) hidrocarboneto.

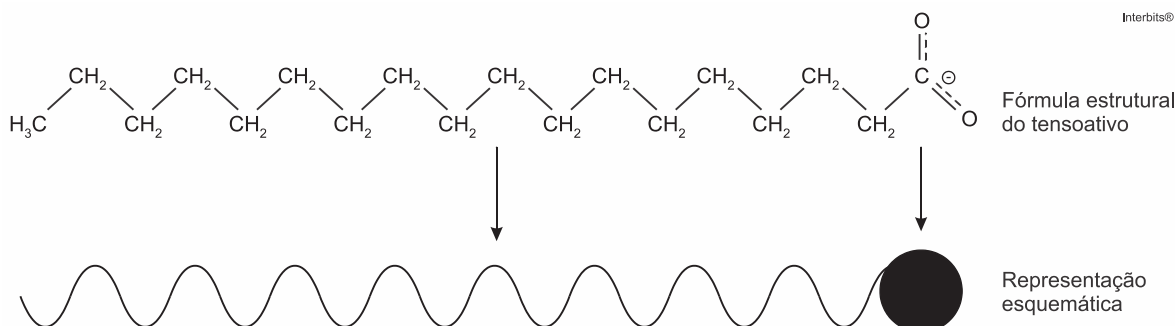
30. (ENEM 2016) O esquema representa, de maneira simplificada, o processo de produção de etanol utilizando milho como matéria-prima.



A etapa de hidrólise na produção de etanol a partir do milho é fundamental para que

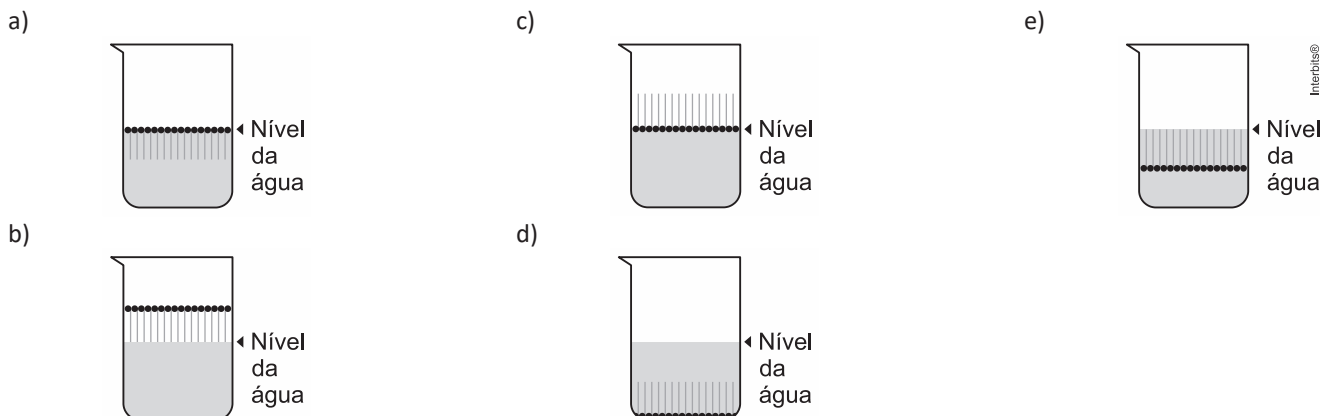
- a) a glicose seja convertida em sacarose.
- b) as enzimas dessa planta sejam ativadas.
- c) a maceração favorece a solubilização em água.
- d) o amido seja transformado em substratos utilizáveis pela levedura.
- e) os grãos com diferentes composições químicas sejam padronizados.

31. (ENEM 2016) Os tensoativos são compostos capazes de interagir com substâncias polares e apolares. A parte iônica dos tensoativos interage com substâncias polares, e a parte lipofílica interage com as apolares. A estrutura orgânica de um tensoativo pode ser representada por:

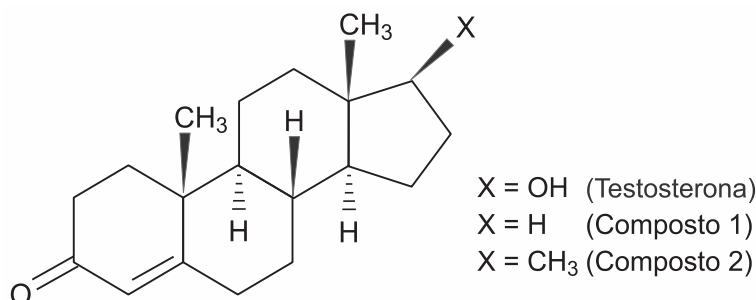


Ao adicionar um tensoativo sobre a água, suas moléculas formam um arranjo ordenado.

Esse arranjo é representado esquematicamente por:



32. (ENEM 2016) A lipofilia é um dos fatores fundamentais para o planejamento de um fármaco. Ela mede o grau de afinidade que a substância tem com ambientes apolares, podendo ser avaliada por seu coeficiente de partição.



NOGUEIRA, L. J.; MONTANARI, C. A.; DONNICI, C. L. Histórico da evolução da química medicinal e a importância da lipofilia: de Hipócrates e Galeno a Paracelsus e as contribuições de Overton e de Hansch. *Revista Virtual de Química*. n. 3, 2009 (adaptado).

Em relação ao coeficiente de partição da testosterona, as lipofilias dos compostos 1 e 2 são, respectivamente,

- menor e menor que a lipofilia da testosterona.
- menor e maior que a lipofilia da testosterona.
- maior e menor que a lipofilia da testosterona.
- maior e maior que a lipofilia da testosterona.
- menor e igual à lipofilia da testosterona.

33. (ENEM 2016) O carvão ativado é um material que possui elevado teor de carbono, sendo muito utilizado para a remoção de compostos orgânicos voláteis do meio, como o benzeno. Para a remoção desses compostos, utiliza-se a adsorção. Esse fenômeno ocorre por meio de interações do tipo intermoleculares entre a superfície do carvão (adsorvente) e o benzeno (adsorvato, substância adsorvida).

No caso apresentado, entre o adsorvente e a substância adsorvida ocorre a formação de:

- Ligações dissulfeto.
- Ligações covalentes.
- Ligações de hidrogênio.
- Interações dipolo induzido-dipolo induzido.
- Interações dipolo permanente-dipolo permanente.

34. (ENEM 2016) Em sua formulação, o spray de pimenta contém porcentagens variadas de oleorresina de *Capsicum*, cujo princípio ativo é a capsaicina, e um solvente (um álcool como etanol ou isopropanol). Em contato com os olhos, pele ou vias respiratórias, a capsaicina causa um efeito inflamatório que gera uma sensação de dor e ardor, levando à cegueira temporária. O processo é desencadeado pela liberação de neuropeptídeos das terminações nervosas.

Como funciona o gás de pimenta. Disponível em: <http://pessoas.hsw.uol.com.br>.

Acesso em: 1 mar. 2012 (adaptado).

Quando uma pessoa é atingida com o spray de pimenta nos olhos ou na pele, a lavagem da região atingida com água é ineficaz porque a

- reação entre etanol e água libera calor, intensificando o ardor.
- solubilidade do princípio ativo em água é muito baixa, dificultando a sua remoção.
- permeabilidade da água na pele é muito alta, não permitindo a remoção do princípio ativo.
- solubilização do óleo em água causa um maior espalhamento além das áreas atingidas.
- ardência faz evaporar rapidamente a água, não permitindo que haja contato entre o óleo e o solvente.

35. (ENEM 2016) Primeiro, em relação àquilo a que chamamos água, quando congela, parece-nos estar a olhar para algo que se tornou pedra ou terra, mas quando derrete e se dispersa, esta torna-se bafo e ar; o ar, quando é queimado, torna-se fogo; e, inversamente, o fogo, quando se contrai e se extingue, regressa a forma do ar; o ar, novamente concentrado e contraído, torna-se nuvem e nevoeiro, mas, a partir destes estados, se for ainda mais comprimido, torna-se água corrente, e de água torna-se novamente terra e pedras; e deste modo, como nos parece, dão geração uns aos outros de forma cíclica.

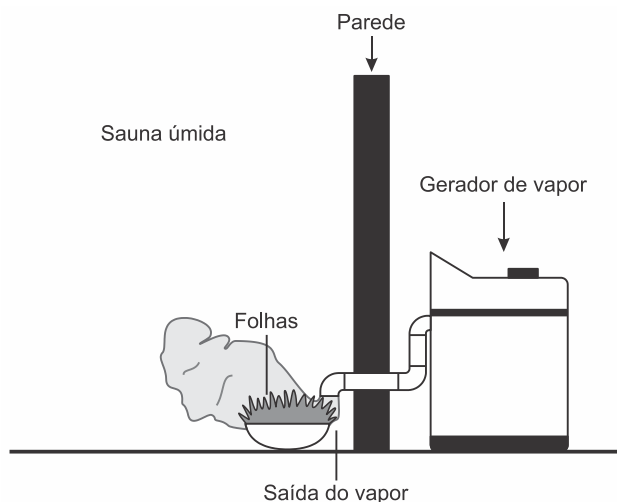
PLATÃO. *Timeu-Crítias*. Coimbra: CECH, 2011.

Do ponto de vista da ciência moderna, os “quatro elementos” descritos por Platão correspondem, na verdade, às fases sólida, líquida, gasosa e plasma da matéria. As transições entre elas são hoje entendidas como consequências macroscópicas de transformações sofridas pela matéria em escala microscópica.

Excetuando-se a fase de plasma, essas transformações sofridas pela matéria, em nível microscópico, estão associadas a uma

- troca de átomos entre as diferentes moléculas do material.
- transmutação nuclear dos elementos químicos do material.
- redistribuição de prótons entre os diferentes átomos do material.
- mudança na estrutura espacial formada pelos diferentes constituintes do material.
- alteração nas proporções dos diferentes isótopos de cada elemento presente no material.

36. (ENEM 2016) Uma pessoa é responsável pela manutenção de uma sauna úmida. Todos os dias cumpre o mesmo ritual: colhe folhas de capim-cidreira e algumas folhas de eucalipto. Em seguida, coloca as folhas na saída do vapor da sauna, aromatizando-a, conforme representado na figura.



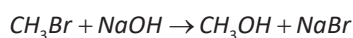
Qual processo de separação é responsável pela aromatização promovida?

- Filtração simples.
- Destilação simples.
- Extração por arraste.
- Sublimação fracionada.
- Decantação sólido-líquido.

37. (ENEM 2016) A minimização do tempo e custo de uma reação química, bem como o aumento na sua taxa de conversão, caracteriza a eficiência de um processo químico. Como consequência, produtos podem chegar ao consumidor mais baratos. Um dos parâmetros que mede a eficiência de uma reação química é o seu rendimento molar (R , em %), definido como

$$R = \frac{n_{\text{produto}}}{n_{\text{reagente limitante}}} \times 100$$

em que n corresponde ao número de mols. O metanol pode ser obtido pela reação entre brometo de metila e hidróxido de sódio, conforme a equação química:



As massas molares (em g/mol) desses alimentos são: $H = 1$; $C = 12$; $O = 16$; $Na = 23$; $Br = 80$.

O rendimento molar da reação, em que 32 g de metanol foram obtidos a partir de 142,5 g de brometo de metila e 80 g de hidróxido de sódio, é mais próximo de

- 22%.
- 40%.
- 50%.
- 67%.
- 75%.

38. (ENEM 2016) Em meados de 2003, mais de 20 pessoas morreram no Brasil após terem ingerido uma suspensão de sulfato de bário utilizada como contraste em exames radiológicos. O sulfato de bário é um sólido pouquíssimo solúvel em água, que não se dissolve mesmo na presença de ácidos. As mortes ocorreram porque um laboratório farmacêutico forneceu o produto contaminado com carbonato de bário, que é solúvel em meio ácido. Um simples teste para verificar a existência de íons bário solúveis poderia ter evitado a tragédia. Esse teste consiste em tratar a amostra com solução aquosa de HCl e, após filtrar para separar os compostos insolúveis de bário, adiciona-se solução aquosa de H_2SO_4 sobre o filtrado e observa-se por 30 min.

A presença de íons bário solúveis na amostra é indicada pela

- a) liberação de calor.
- b) alteração da cor para rosa.
- c) precipitação de um sólido branco.
- d) formação de gás hidrogênio.
- e) volatilização de gás cloro.

39. (Enem 2016) Para cada litro de etanol produzido em uma indústria de cana-de-açúcar são gerados cerca de 18 L de vinhaça que é utilizada na irrigação das plantações de cana-de-açúcar, já que contém teores médios de nutrientes *N, P* e *K* iguais a 357 mg/L, 60 mg/L, e 2.034 mg/L, respectivamente.

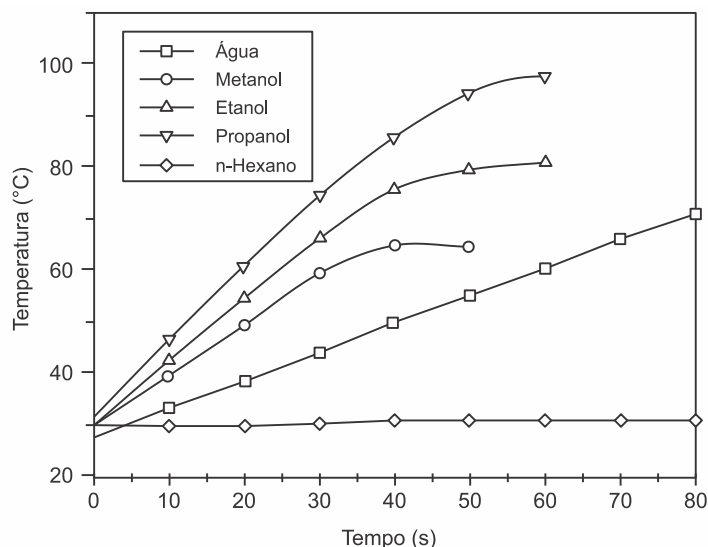
SILVA. M. A. S.; GRIEBELER. N. P.; BORGES, L. C. Uso de vinhaça e impactos nas propriedades do solo e lençol freático. Revista Brasileira de Engenharia Agrícola e Ambiental. n. 1, 2007 (adaptado).

Na produção de 27.000 L de etanol, a quantidade total de fósforo, em kg, disponível na vinhaça será mais próxima de

- a) 1.
- b) 29.
- c) 60.
- d) 170.
- e) 1.000.

40. (ENEM 2016) O aquecimento de um material por irradiação com micro-ondas ocorre por causa da interação da onda eletromagnética com o dipolo elétrico da molécula. Um importante atributo do aquecimento por micro-ondas é a absorção direta da energia pelo material a ser aquecido. Assim, esse aquecimento é seletivo e dependerá, principalmente, da constante dielétrica e da frequência de relaxação do material.

O gráfico mostra a taxa de aquecimento de cinco solventes sob irradiação de micro-ondas.

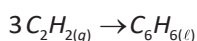


BARBOZA, A. C. R. N. et al. Aquecimento em forno de micro-ondas. Desenvolvimento de alguns conceitos fundamentais. Química Nova. n. 6. 2001 (adaptado).

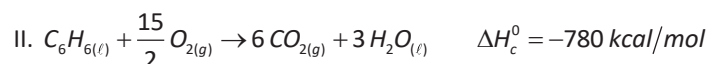
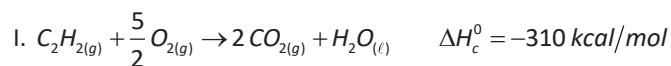
No gráfico, qual solvente apresenta taxa média de aquecimento mais próxima de zero, no intervalo de 0 s a 40 s?

- a) H_2O
- b) CH_3OH
- c) CH_3CH_2OH
- d) $CH_3CH_2CH_2OH$
- e) $CH_3CH_2CH_2CH_2CH_2CH_3$

41. (ENEM 2016) O benzeno, um importante solvente para a indústria química, é obtido industrialmente pela destilação do petróleo. Contudo, também pode ser sintetizado pela trimerização do acetileno catalisada por ferro metálico sob altas temperaturas, conforme a equação química:



A energia envolvida nesse processo pode ser calculada indiretamente pela variação de entalpia das reações de combustão das substâncias participantes, nas mesmas condições experimentais:



A variação de entalpia do processo de trimerização, em *kcal*, para a formação de um mol de benzeno é mais próxima de

- 1.090.
- 150.
- 50.
- +157.
- +470.

42. (ENEM 2016) Após seu desgaste completo, os pneus podem ser queimados para a geração de energia. Dentre os gases gerados na combustão completa da borracha vulcanizada, alguns são poluentes e provocam a chuva ácida. Para evitar que escapem para a atmosfera, esses gases podem ser borbulhados em uma solução aquosa contendo uma substância adequada.

Considere as informações das substâncias listadas no quadro.

Substância	Equilíbrio em solução aquosa	Valor da constante de equilíbrio
Fenol	$C_6H_5OH + H_2O \rightleftharpoons C_6H_5O^- + H_3O^+$	$1,3 \cdot 10^{-10}$
Piridina	$C_5H_5N + H_2O \rightleftharpoons C_5H_5NH^+ + OH^-$	$1,7 \cdot 10^{-9}$
Metilamina	$CH_3NH_2 + H_2O \rightleftharpoons CH_3NH_3^+ + OH^-$	$4,4 \cdot 10^{-4}$
Hidrogenofosfato de potássio	$HPO_4^{2-} + H_2O \rightleftharpoons H_2PO_4^- + OH^-$	$2,8 \cdot 10^{-2}$
Hidrogenossulfato de potássio	$HSO_4^- + H_2O \rightleftharpoons SO_4^{2-} + H_3O^+$	$3,1 \cdot 10^{-2}$

Dentre as substâncias listadas no quadro, aquela capaz de remover com maior eficiência os gases poluentes é o(a)

- fenol.
- piridina.
- metilamina.
- hidrogenofosfato de potássio.
- hidrogenossulfato de potássio.

43. (ENEM 2016)

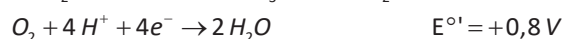
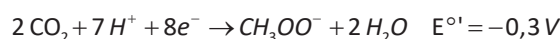
Texto I

Biocélulas combustíveis são uma alternativa tecnológica para substituição das baterias convencionais. Em uma biocélula microbiológica, bactérias catalisam reações de oxidação de substratos orgânicos. Liberam elétrons produzidos na respiração celular para um eletrodo, onde fluem por um circuito externo até o cátodo do sistema, produzindo corrente elétrica. Uma reação típica que ocorre em biocélulas microbiológicas utiliza o acetato como substrato.

AQUINO NETO. S. *Preparação e caracterização de bioanodos para biocélula e combustível etanol/O₂*. Disponível em: www.teses.usp.br. Acesso em: 23 jun. 2015 (adaptado).

Texto II

Em sistemas bioeletroquímicos, os potenciais padrão (E^0) apresentam valores característicos. Para as biocélulas de acetato, considere as seguintes semirreações de redução e seus respectivos potenciais:



Nessas condições, qual é o número mínimo de biocélulas de acetato, ligadas em série, necessárias para se obter uma diferença de potencial de 4,4 V?

- a) 3
- b) 4
- c) 6
- d) 9
- e) 15

44. (ENEM 2016) Pesquisadores recuperaram DNA de ossos de mamute (*Mammuthus primigenius*) encontrados na Sibéria, que tiveram sua idade de cerca de 28 mil anos confirmada pela técnica do *carbono-14*.

FAPESP. *DNA do mamute é revelado*. Disponível em: <http://agencia.fapesp.br>. Acesso em: 13 ago. 2012 (adaptado).

A técnica de datação apresentada no texto só é possível devido à

- a) proporção conhecida entre *carbono-14* e *carbono-12* na atmosfera ao longo dos anos.
- b) decomposição de todo o *carbono-12* presente no organismo após a morte.
- c) fixação maior do *carbono-14* nos tecidos de organismos após a morte.
- d) emissão de *carbono-12* pelos tecidos de organismos após a morte.
- e) transformação do *carbono-12* em *carbono-14* ao longo dos anos.

GABARITOS E RESPOSTAS

RESPOSTA DA QUESTÃO 01:

[B]

As nanopartículas devem ser endereçadas para o interior das mitocôndrias, local onde ocorre o ciclo de Krebs; mais exatamente na matriz mitocondrial.

RESPOSTA DA QUESTÃO 02:

[A]

O biodigestor realiza a decomposição incompleta das fezes dos animais produzindo, como subproduto, o gás metano (CH_4). Esse gás pode ser utilizado como combustível na iluminação pública.

RESPOSTA DA QUESTÃO 03:

[E]

A deficiência na absorção de nitratos do solo prejudicará a produção de compostos orgânicos nitrogenados, tais como, proteínas, ácidos nucleicos, clorofila, etc. pelas plantas de trigo.

RESPOSTA DA QUESTÃO 04:

[D]

As características apresentadas no texto são típicas de plantas adaptadas ao bioma Manguezal.

RESPOSTA DA QUESTÃO 05:

[C]

Os sistemas agroflorestais promovem maior diversidade de vida no solo com o aumento da matéria orgânica originada das árvores plantadas em áreas agrícolas. A decomposição dos detritos vegetais e animais enriquece o solo com nutrientes.

RESPOSTA DA QUESTÃO 06:

[C]

Os dados da tabela revelam que os peixes se alimentam, preferencialmente, de mexilhões pequenos. Na área desprotegida pela tela, a densidade dos mexilhões diminuiu, mas os sobreviventes apresentam tamanho maior.

RESPOSTA DA QUESTÃO 07:

[E]

A síntese ribossômica de proteínas é uma forte evidência de que todos os seres vivos compartilham o mesmo ancestral.

RESPOSTA DA QUESTÃO 08:

[B]

As vacinas contêm antígenos que estimulam o organismo a produzir anticorpos (imunoglobulinas) específicos. Em 4, as bactérias benéficas, conhecidas por probióticos estão estimulando a produção de imunoglobulinas que combatem os microrganismos patogênicos.

RESPOSTA DA QUESTÃO 09:

[C]

A permuta genética (ou *crossing-over*) corresponde à troca de segmentos entre cromátides homólogas (não irmãs). Ocorre durante a prófase I da meiose e produz variabilidade, porque promove a recombinação gênica da formação dos gametas animais.

RESPOSTA DA QUESTÃO 10:

[E]

Os mosquitos hematófagos produzem substâncias anticoagulantes que evitam a coagulação do sangue de que se alimentam. O sangue coagulado não pode ser digerido pelo inseto. Essas substâncias apresentam interesse à pesquisa no desenvolvimento de terapêuticos contra varizes, trombozes, infartos, etc.

RESPOSTA DA QUESTÃO 11:

[E]

De acordo com a teoria da sucção-absorção, a subida da seiva bruta pelos vasos lenhosos do xilema é determinada, principalmente, pela transpiração realizada pelos estômatos localizados nas folhas das árvores.

RESPOSTA DA QUESTÃO 12:

[A]

As microalgas componentes do fitoplâncton realizam a transição do elemento carbono de sua forma inorgânica (CO_2) para a forma orgânica ($\text{C}_6\text{H}_{12}\text{O}_6$), ao realizar a fotossíntese.

RESPOSTA DA QUESTÃO 13:

[E]

A deficiência do hormônio antidiurético (ADH) causa o aumento do volume de água eliminado na diurese. Consequentemente, um sintoma clássico de pacientes acometidos por diabetes *insipidus* é a desidratação.

RESPOSTA DA QUESTÃO 14:

[D]

Durante o tempo de reação do condutor, a velocidade escalar é constante. Portanto, durante esse intervalo de tempo, o gráfico da velocidade escalar em função da distância é um segmento de reta horizontal.

A partir da aplicação dos freios, se a desaceleração tem intensidade constante, o movimento é uniformemente variado (MUV). Então o módulo da velocidade escalar varia com a distância percorrida (D) de acordo com a equação de Torricelli:

$$v^2 = v_0^2 - 2aD \Rightarrow v = \sqrt{v_0^2 - 2aD}.$$

O gráfico dessa expressão é um arco de parábola de concavidade para baixo.

RESPOSTA DA QUESTÃO 15:

[B]

No acoplamento coaxial as frequências são iguais. No acoplamento tangencial as frequências (f) são inversamente proporcionais aos números (N) de dentes;

Assim:

$$\begin{cases} f_A = f_{\text{motor}} = 18 \text{ rpm.} \\ f_B N_B = f_A N_A \Rightarrow f_B \cdot 72 = 18 \cdot 24 \Rightarrow f_B = 6 \text{ rpm.} \\ f_C = f_B = 6 \text{ rpm.} \\ f_D N_D = f_C N_C \Rightarrow f_D \cdot 108 = 6 \cdot 36 \Rightarrow f_D = 2 \text{ rpm.} \end{cases}$$

A frequência do ponteiro é igual à da engrenagem D, ou seja:

$$f = 2 \text{ rpm.}$$

RESPOSTA DA QUESTÃO 16:

[B]

A vantagem mecânica de um sistema é dada pela razão entre a força resistente e a força potente.

Na situação apresentada, a força resistente é a intensidade da força de atrito máxima ($A_{\text{máx}}$).

$$A_{\text{máx}} = \mu_e N = \mu_e mg = 0,8 \cdot 3.000 \cdot 10 \Rightarrow A_{\text{máx}} = 24.000 \text{ N.}$$

A força potente, aplicada por Arquimedes, teve intensidade $F = 400 \text{ N}$.

A vantagem mecânica foi, então:

$$V_M = \frac{A_{\text{máx}}}{F} = \frac{24.000}{400} \Rightarrow V_M = 60.$$

Somente com a polia fixa, a vantagem mecânica é igual a 1. Para cada polia móvel acrescentada ao sistema, a vantagem mecânica é multiplicada por 2. A tabela apresenta a vantagem mecânica (V_M) em função do número de polias móveis (n).

n	V_M
1	$2^1 = 2$
2	$2^2 = 4$
3	$2^3 = 8$
\vdots	\vdots
n	2^n

Para Arquimedes ter conseguido mover o navio, a vantagem mecânica foi maior que 60.

Assim:

$$2^n > 60.$$

Sabemos que $2^6 = 64$.

Então o número mínimo de polias móveis usadas por Arquimedes foi 6.

RESPOSTA DA QUESTÃO 17:

[C]

A potência teórica (P_T) em cada unidade corresponde à energia potencial da água represada, que tem vazão $z = \frac{V}{\Delta t} = 690 \text{ m}^3/\text{s}$.

Sendo ρ a densidade da água, g a aceleração da gravidade e h a altura de queda, tem-se:

$$P_T = \frac{mgh}{\Delta t} = \frac{\rho Vgh}{\Delta t} = \rho \frac{V}{\Delta t} gh \Rightarrow P_T = \rho zgh = 10^3 \cdot 690 \cdot 10 \cdot 118,4 = 816,96 \times 10^6 \text{ W} \Rightarrow$$

$$P_T = 816,96 \text{ MW}.$$

A potência gerada em cada unidade é:

$$P_G = \frac{14.000}{20} \Rightarrow P_G = 700 \text{ MW}.$$

A potência não aproveitada (dissipada) corresponde à diferença entre a potência teórica e a potência gerada.

$$P_d = P_T - P_G = 816,96 - 700 \Rightarrow \boxed{P_d = 116,96 \text{ MW}}.$$

RESPOSTA DA QUESTÃO 18:

[C]

Dados: $P_d = 2P = 2 \text{ MW} \Rightarrow P_d = 2 \times 10^6 \text{ W}$; $c = 4 \text{ kJ/kg} \cdot ^\circ\text{C} = 4 \times 10^3 \text{ J/kg} \cdot ^\circ\text{C}$; $\Delta\theta = 3 \text{ }^\circ\text{C}$.

O fluxo mássico (kg/s) pedido é $\Phi = \frac{m}{\Delta t}$.

Da definição de potência:

$$P = \frac{Q}{\Delta t} \Rightarrow mc\Delta\theta = P\Delta t \Rightarrow \frac{m}{\Delta t} = \Phi = \frac{P}{c\Delta\theta} = \frac{2 \times 10^6}{4 \times 10^3 \cdot 3} \Rightarrow \boxed{\Phi \cong 167 \text{ kg/s}}.$$

RESPOSTA DA QUESTÃO 19:

[C]

A velocidade do carrinho 1 antes do choque é:

$$v_1 = \frac{\Delta s_1}{\Delta t_1} = \frac{30,0 - 15,0}{1,0 - 0,0} \Rightarrow v_1 = 15,0 \text{ cm/s}.$$

O carrinho 2 está em repouso: $v_2 = 0$.

Após a colisão, os carrinhos seguem juntos com velocidade v_{12} , dada por:

$$v_{12} = \frac{\Delta s_{12}}{\Delta t_{12}} = \frac{90,0 - 75,0}{11,0 - 8,0} \Rightarrow v_{12} = 5,0 \text{ cm/s.}$$

Como o sistema é mecanicamente isolado, ocorre conservação da quantidade de movimento.

$$Q_{sist}^{antes} = Q_{sist}^{depois} \Rightarrow Q_1 + Q_2 = Q_{12} \Rightarrow m_1 v_1 + m_2 v_2 = (m_1 + m_2) v_{12} \Rightarrow$$

$$150,0 \cdot 15,0 = (150,0 + m_2) 5,0 \Rightarrow m_2 = \frac{150,0 \cdot 15,0}{5,0} - 150,0 \Rightarrow m_2 = 300,0 \text{ g.}$$

RESPOSTA DA QUESTÃO 20:

[A]

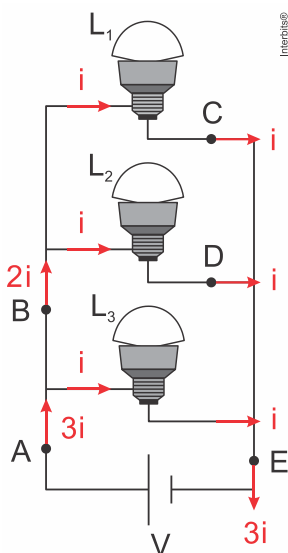
Na bandeja de alumínio o derretimento do gelo é mais rápido do que na bandeja de plástico, pois o metal tem maior condutividade térmica que o plástico, absorvendo mais rapidamente calor do meio ambiente e cedendo para o gelo.

RESPOSTA DA QUESTÃO 21:

[A]

As três lâmpadas estão em paralelo. Como são idênticas, são percorridas pela mesma corrente, i .

A figura mostra a intensidade da corrente elétrica em cada lâmpada e nos pontos destacados.



De acordo com a figura:

$$I_A = 3i; I_B = 2i; I_C = i; I_D = i \text{ e } I_E = 3i.$$

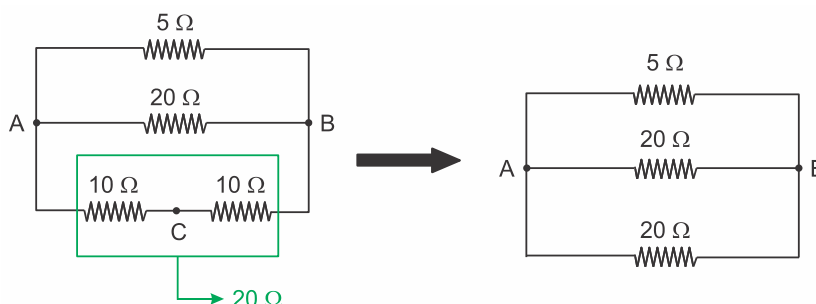
Portanto:

$$I_A = I_E \text{ e } I_C = I_D.$$

RESPOSTA DA QUESTÃO 22:

[B]

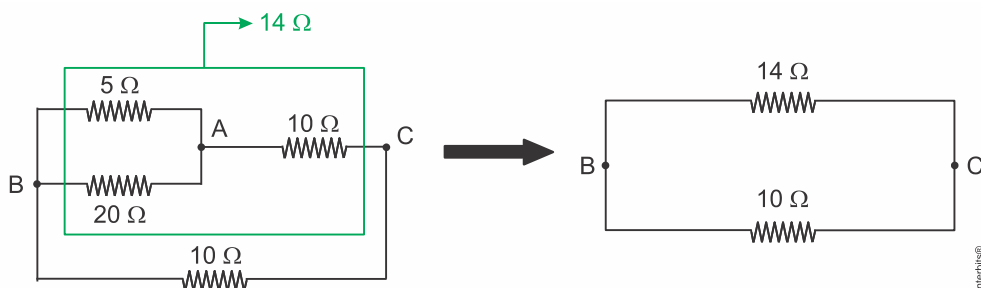
Esquematizando a 1ª situação proposta e fazendo as simplificações:



A resistência equivalente nessa situação 1 é:

$$\frac{1}{R_{AB}} = \frac{1}{5} + \frac{1}{20} + \frac{1}{20} = \frac{4+1+1}{20} = \frac{6}{20} = \frac{3}{10} \Rightarrow R_{AB} = \frac{10}{3} \Omega.$$

Esquematisando a 2ª situação proposta e fazendo as simplificações:



No ramo superior da figura acima a resistência equivalente é:

$$R_{BC1} = \frac{20 \cdot 5}{25} + 10 = 4 + 10 \Rightarrow R_{BC1} = 14 \Omega.$$

A resistência equivalente na situação 2 é:

$$R_{BC} = \frac{14 \cdot 10}{24} = \frac{140}{24} \Rightarrow R_{BC} = \frac{35}{6} \Omega.$$

Fazendo a razão pedida:

$$\frac{R_{AB}}{R_{BC}} = \frac{10/3}{35/6} = \frac{10}{3} \times \frac{6}{35} = \frac{20}{35} \Rightarrow \frac{R_{AB}}{R_{BC}} = \frac{4}{7}.$$

RESPOSTA DA QUESTÃO 23:

[B]

O campo magnético alternado faz com que as nanopartículas, que se comportam como nanoímãs, estejam em constante agitação, chocando-se contra as células tumorais, aquecendo-as por atrito.

RESPOSTA DA QUESTÃO 24:

[A]

Como a mariposa está se afastando, a intensidade do som recebido como eco diminui e o tempo de retorno aumenta.

RESPOSTA DA QUESTÃO 25:

[A]

As moléculas de manteiga entram em ressonância com a onda estacionária formada no interior do forno, tendo vibração máxima nas regiões ventrais. Como a temperatura é a medida do estado de agitação das moléculas, os pontos consecutivos de manteiga derretida correspondem a essas regiões ventrais: [I], [III] e [V].

RESPOSTA DA QUESTÃO 26:

[D]

De acordo com o efeito Doppler para ondas sonoras, quando há:

- aproximação relativa entre a fonte e o observador, a frequência detectada é maior que a frequência emitida: $f_o(t) > f_A$.
- afastamento relativo entre a fonte e o observador, a frequência detectada é menor que a frequência emitida: $f_o(t) < f_A$.

RESPOSTA DA QUESTÃO 27:

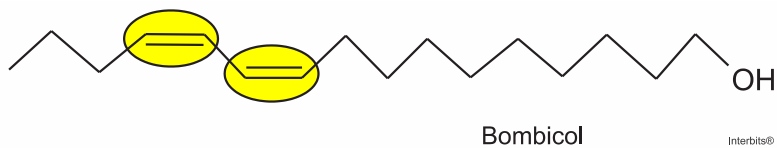
[C]

Analisando o gráfico da figura 1 nota-se que, até 300 Hz, o nível sonoro diminui com o aumento da frequência para as quatro distâncias. Na tabela da figura 2, constata-se que sons nessas frequências são classificados como graves.

RESPOSTA DA QUESTÃO 28:

[E]

Percebe-se que a estrutura do bombicol apresenta isomeria cis-trans.



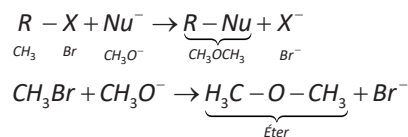
Este tipo de isomeria também ocorre no composto no feromônio utilizado no controle do inseto *Scrobipalpuloides absoluta*.



RESPOSTA DA QUESTÃO 29:

[A]

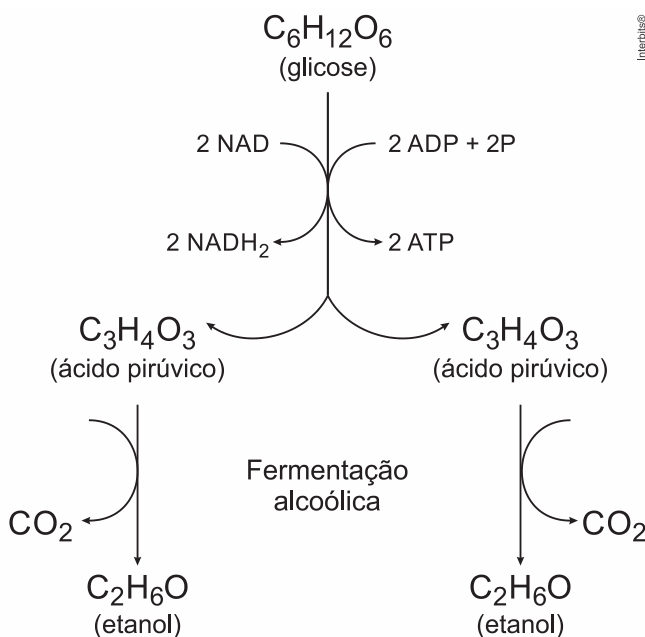
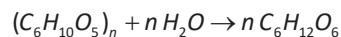
Substituindo Nu^- (CH_3O^-) e o brometo de metila (CH_3Br) na equação fornecida no enunciado, vem:



RESPOSTA DA QUESTÃO 30:

[D]

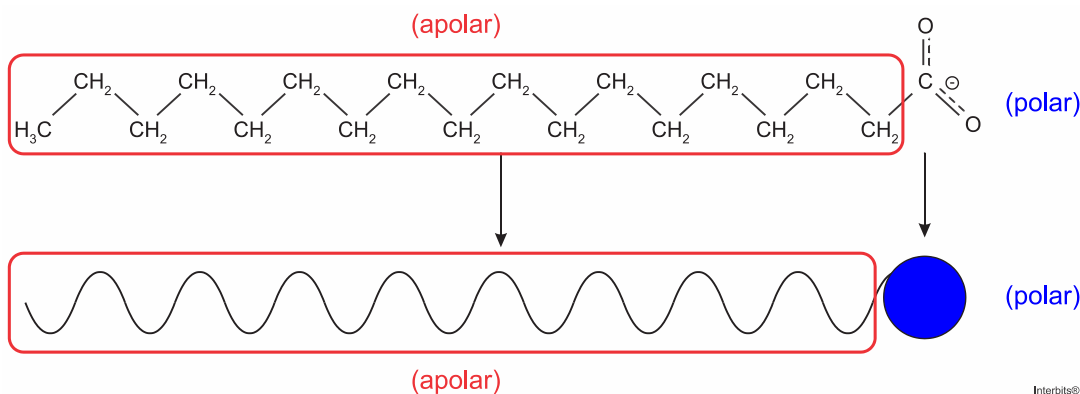
O amido ($(C_6H_{10}O_5)_n$) presente no milho sofre hidrólise formando carboidratos ($C_6H_{12}O_6$) que fermentam na presença de leveduras produzindo gás carbônico (CO_2), etanol (C_2H_6O) e água (H_2O).



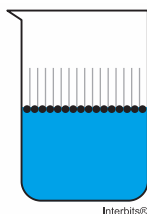
RESPOSTA DA QUESTÃO 31:

[C]

Percebe-se que o tensoativo apresenta uma região apolar e outra apolar:



Ao adicionar um tensoativo sobre a água, suas moléculas formam um arranjo ordenado com a região polar voltada para a água (polar).

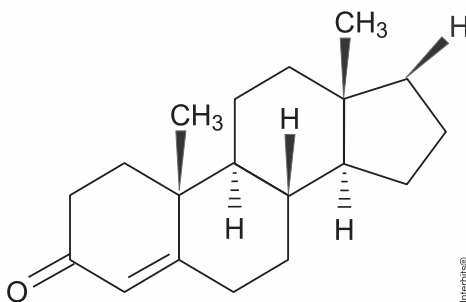


RESPOSTA DA QUESTÃO 32:

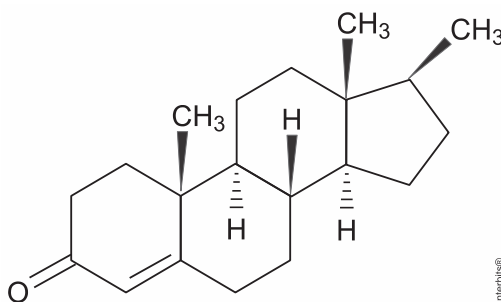
[D]

Coefficiente de partição (P) neste caso é definido como a concentração da substância indicada (compostos 1, 2 e testosterona) dissolvida em solvente apolar.

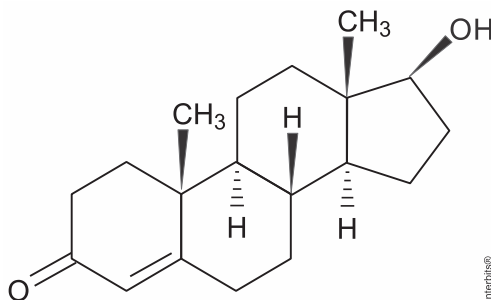
Composto 1:



Composto 2:



Testosterona:



Analisando-se as estruturas dos compostos 1, 2 e da testosterona, conclui-se que esta é mais polar, pois apresenta o grupo OH no lugar de X .

Conclusão: os compostos 1 e 2 dissolvem melhor em solventes apolares, ou seja, apresentam maior coeficiente de partição e maior lipofilia (filia = afinidade; lipo = semelhante à gordura) em relação à testosterona.

RESPOSTA DA QUESTÃO 33:

[D]

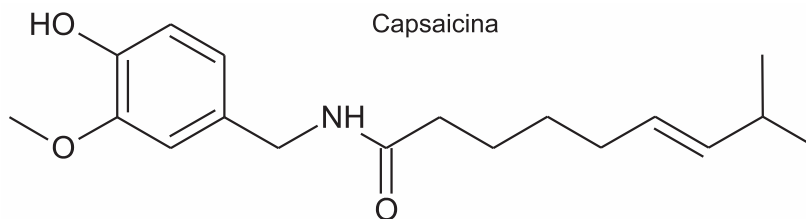
O carvão ($C_{(s)}$) e o benzeno (C_6H_6) são substâncias classificadas como apolares ($\vec{R} = \vec{0}$).

Conclusão: as forças atrativas envolvidas na atração entre o adsorvente e o adsorvato são do tipo dipolo induzido-dipolo induzido.

RESPOSTA DA QUESTÃO 34:

[B]

A lavagem da região atingida com água (polar) é ineficaz porque o princípio ativo (capsaicina) apresenta baixa polaridade.



RESPOSTA DA QUESTÃO 35:

[D]

Excetuando-se a fase de plasma, essas transformações sofridas pela matéria, em nível microscópico, estão associadas a uma mudança na estrutura espacial formada pelos diferentes constituintes do material, ou seja, pela distância entre as moléculas de água e a intensidade das forças atrativas presentes no estado sólido, líquido e gasoso.

RESPOSTA DA QUESTÃO 36:

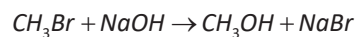
[C]

Extração por arraste, ou seja, o vapor de água arrasta as substâncias responsáveis pelo aroma presente na sauna.

RESPOSTA DA QUESTÃO 37:

[D]

$CH_3OH = 32$; $CH_3Br = 95$; $NaOH = 40$.



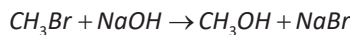
$$95\text{ g} \text{ — } 40\text{ g} \text{ — } 32\text{ g}$$

$$142,5\text{ g} \text{ — } 80\text{ g} \text{ — } 32\text{ g}$$

$$95 \times 80 = 7.600$$

$$142,5 \times 40 = 5.700$$

$$7.600 > 5.700$$



$$95 \text{ g} \text{ — } 40 \text{ g} \text{ — } 32 \text{ g}$$

$$142,5 \text{ g} \text{ — } \underbrace{80 \text{ g}}_{\substack{\text{Excesso} \\ \text{de} \\ \text{reagente}}} \text{ — } m_{\text{CH}_3\text{OH}}$$

$$m_{\text{CH}_3\text{OH}} = 48 \text{ g}$$

$$48 \text{ g} \text{ — } 100\% \text{ de rendimento}$$

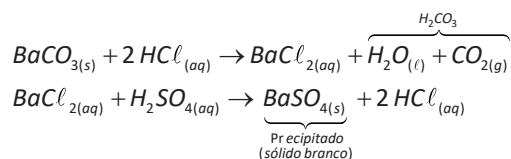
$$32 \text{ g} \text{ — } r$$

$$r = 66,666\% \approx 67\%$$

RESPOSTA DA QUESTÃO 38:

[C]

O teste consiste em tratar a amostra, neste caso de carbonato de bário (BaCO_3) com solução aquosa de HCl e, após filtrar para separar os compostos insolúveis de bário, adiciona-se solução aquosa de H_2SO_4 sobre o filtrado:



RESPOSTA DA QUESTÃO 39:

[B]

De acordo com o enunciado da questão em 18 L de etanol a concentração de fósforo (P) é igual a 60 mg/L. Então:

$$1 \text{ L de etanol} \text{ — } 18 \text{ L de vinhaça}$$

$$27.000 \text{ L de etanol} \text{ — } V_{\text{vinhaça}}$$

$$V_{\text{vinhaça}} = 486.000 \text{ L}$$

$$1 \text{ mg} = 10^{-6} \text{ kg}$$

$$1 \text{ L de vinhaça} \text{ — } 60 \times 10^{-6} \text{ kg (P)}$$

$$486.000 \text{ L} \text{ — } m_p$$

$$m_p = 29,16 \times 10^6 \times 10^{-6} \text{ kg} = 29,16 \text{ kg}$$

$$m_p \approx 29 \text{ kg}$$

RESPOSTA DA QUESTÃO 40:

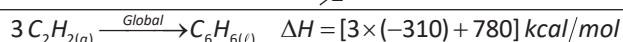
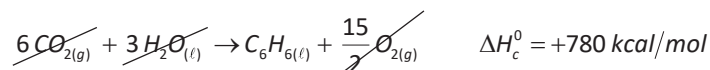
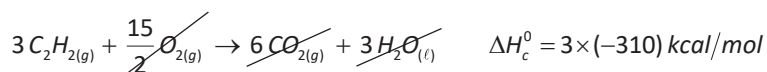
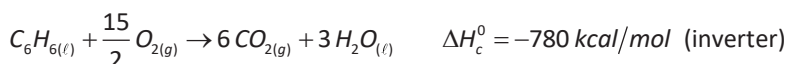
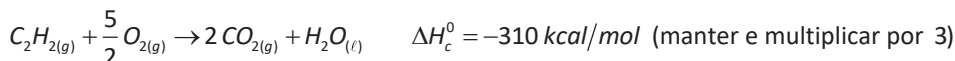
[E]

De acordo com o gráfico a curva demarcada com o símbolo \diamond (n-hexano) apresenta a menor inclinação, ou seja, para esta curva a variação de temperatura tende a zero.

A fórmula do n-hexano é $\text{CH}_3\text{CH}_2\text{CH}_2\text{CH}_2\text{CH}_2\text{CH}_3$.

RESPOSTA DA QUESTÃO 41:

[B]

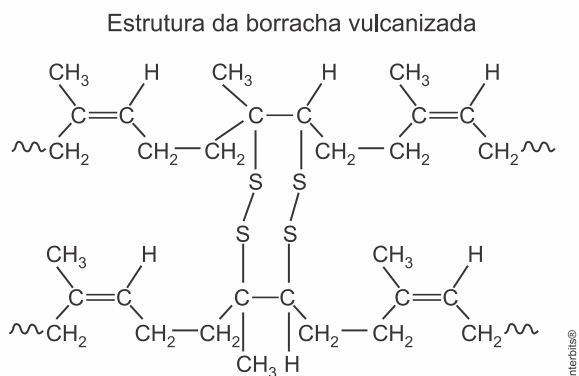


$$\Delta H = -150 \text{ kcal/mol}$$

RESPOSTA DA QUESTÃO 42:

[D]

A borracha vulcanizada apresenta enxofre em sua estrutura tridimensional.



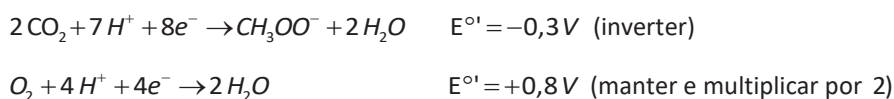
A queima dos pneus (fabricados com borracha vulcanizada) libera trióxido de enxofre gasoso (SO_3), um óxido ácido, responsável pela chuva ácida composta por ácido sulfúrico ($SO_3 + H_2O \rightarrow H_2SO_4$).

A substância listada no quadro deverá apresentar o maior caráter básico para neutralizar o poluente que possui caráter ácido, ou seja, terá que apresentar o maior valor de constante de equilíbrio (nesse caso a concentração de ânions OH^- será maior). Isto ocorre em:

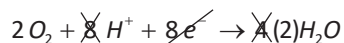
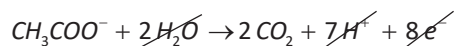
Hidrogenofosfato de potássio	$HPO_4^{2-} + H_2O \rightleftharpoons H_2PO_4^- + OH^-$	$K_{eq} = 2,8 \cdot 10^{-2}$
------------------------------	---	------------------------------

RESPOSTA DA QUESTÃO 43:

[B]



$$+0,8V > -0,3V$$



$$\Delta E = E_{maior} - E_{menor} = 0,8 - (-0,3) = 1,1V$$

$$\Delta E_{total} = 4,4V$$

$$1,1 \times n = 4,4$$

$$n = 4$$

RESPOSTA DA QUESTÃO 44:

[A]

A determinação da idade de materiais pode ser feita a partir da medição da sua radioatividade devido à presença do carbono-14.

Esta técnica pode ser aplicada a materiais com até 20.000 anos de idade e permite o cálculo da idade de amostras que contenham carbono com um erro máximo de duzentos anos.

O carbono-14 é formado numa velocidade constante devido ao choque dos nêutrons presentes nos raios cósmicos (raios provenientes de estrelas, inclusive do Sol) com o nitrogênio presente na atmosfera superior (${}^{14}_7N + {}^1_0n \rightarrow {}^{14}_6C + {}^1_1H$). O carbono-14 produzido nesta transmutação reage com o gás oxigênio da atmosfera formando gás carbônico.

O gás carbônico produzido será radioativo e se misturará com o gás carbônico não radioativo da atmosfera pela ação dos ventos e sua concentração se manterá constante com o passar do tempo em torno de uma molécula com carbono-14 radioativo para cada um trilhão (10^{12}) de moléculas não radioativas. Tanto o gás carbônico radioativo como o não radioativo serão absorvidos pelas plantas e passarão a fazer parte dos seus tecidos e de seus consumidores.



A360°



@gilbertoaugustoprof



gilbertoaugusto

www.gilbertoaugusto.com.br